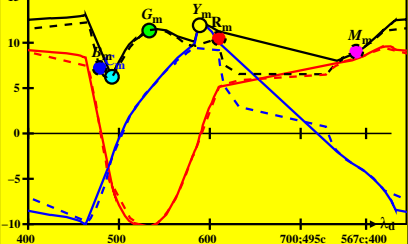


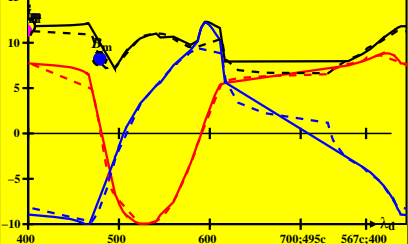
**CIE-Daten für antichromatische Optimalfarben von maximalem Buntwert für D65,  $Y_m=100$ ,  $Y_m=520\ 770$ ,  $B_m=380\ 520$**

↑ CIELAB-Helligkeit  $L^*$  und radiale Buntheit  $a^*$ ,  $b^*$ ,  $C^*_{ab}$  im Bereich  $Y=0$  bis 100



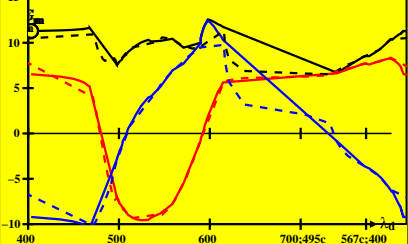
**CIE-Daten für antichromatische Optimalfarben von maximalem Buntwert für D50,  $Y_w=100$ ,  $Y_m=520$  770,  $B_m=380$  520**

**↑ CIELAB-Helligkeit  $L^*$  und radiale Buntheit  $a^*$ ,  $b^*$ ,  $C^*_{ab}$  im Bereich  $Y=0$  bis 100**



**CIE-Daten für antichromatische Optimalfarben von maximalem Buntwert für P40,  $Y_p=100$ ,  $Y_m=520\ 770$ ,  $B_m=380\ 520$**

**↑ CIELAB-Helligkeit  $L^*$  und radiale Buntheit  $a^*$ ,  $b^*$ ,  $C^*_{ab}$  im Bereich  $Y=0$  bis 100**

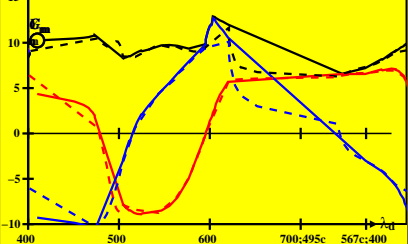


0-000030-L0

SG840-7A\_1

**CIE-Daten für antichromatische Optimalfarben von maximalem Buntwert für A00,  $Y_w=100$ ,  $Y_m=520\ 770$ ,  $B_m=380\ 520$**

↑ CIELAB-Helligkeit  $L^*$  und radiale Buntheit  $a^*$ ,  $b^*$ ,  $C^*_{ab}$  im Bereich  $Y=0$  bis 100

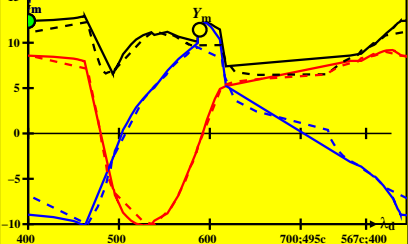


0-000030-L0

SG840-7A\_1

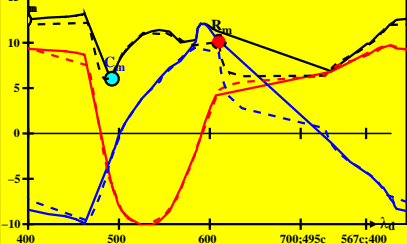
**CIE-Daten für antichromatische Optimalfarben von maximalem Buntwert für E00,  $Y_n=100$ ,  $Y_m=520\ 770$ ,  $B_m=380\ 520$**

↑ CIELAB-Helligkeit  $L^*$  und radiale Buntheit  $a^*$ ,  $b^*$ ,  $C^*_{ab}$  im Bereich  $Y=0$  bis 100



**CIE-Daten für antichromatische Optimalfarben von maximalem Buntwert für C00,  $Y_w=100$ ,  $Y_m=520\ 770$ ,  $B_m=380\ 520$**

↑ CIELAB-Helligkeit  $L^*$  und radiale Buntheit  $a^*$ ,  $b^*$ ,  $C^*_{ab}$  im Bereich  $Y=0$  bis 100

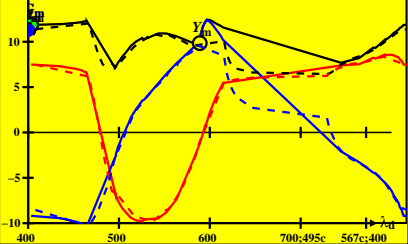


0-000030-L0

SG840-7A\_1

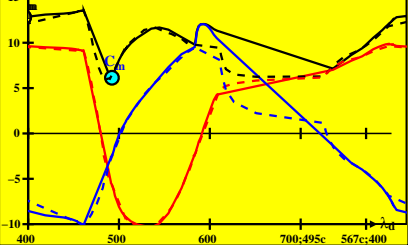
**CIE-Daten für antichromatische Optimalfarben von maximalem Buntwert für P00,  $Y_n=100$ ,  $Y_m=520\ 770$ ,  $B_m=380\ 520$**

↑ CIELAB-Helligkeit  $L^*$  und radiale Buntheit  $a^*$ ,  $b^*$ ,  $C^*_{ab}$  im Bereich  $Y=0$  bis 100



**CIE-Daten für antichromatische Optimalfarben von maximalem Buntwert für Q00,  $Y_w=100$ ,  $Y_m=520\ 770$ ,  $B_m=380\ 520$**

**↑ CIELAB-Helligkeit  $L^*$  und radiale Buntheit  $a^*$ ,  $b^*$ ,  $C^*_{ab}$  im Bereich  $Y=0$  bis 100**



0-000030-L0

SG840-7A\_1